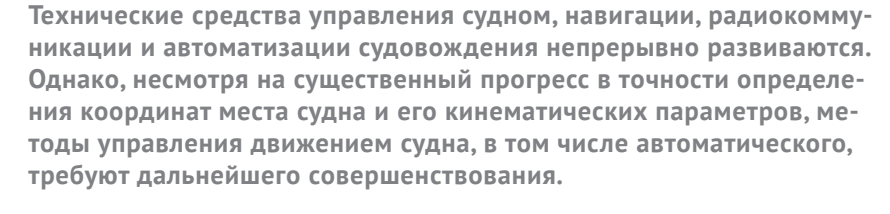
Система автоматического управления маломерным судном, оснащенным системой динамического позиционирования



Я. В. Бурылин, канд. техн. наук, доцент кафедры судовождения Государственного морского университета имени адмирала Ф. Ф. Ушакова (TMY),





А. Н. Попов, д-р техн. наук, начальник факультета эксплуатации водного транспорта и судовождения ГМУ,

А. Л. Боран-Кешишьян, канд. техн. наук, проректор ГМУ

целях развития отечественной инфраструктуры безэкипажного судовождения разрабатывается навигационный комплекс мониторинга и управления движением безэкипажного судна. Проект соответствует плану мероприятий национальной технологической инициативы «Маринет» [1-3].

На базе лаборатории развития безэкипажного судовождения ГМУ имени адмирала Ф. Ф. Ушакова разработано

маломерное судно, оснащенное системой динамического позиционирования (рис. 1). Разрабатываются системы управления такими судами в дистанционном и автоматическом режимах [4-7].

Среди задач и требований, возлагаемых на современные авторулевые, можно выделить следующие:

• удержание судна на курсе (прямой линии пути) с учетом внешних условий;



Рис. 1. Маломерное надводное судно с системой динамического позиционирования

Транспортные средства и техника

- осуществление поворотов в соответствии с заданными радиусом и/или угловой скоростью поворота;
- удерживание судна на заданном маршруте (траектории) как объединение двух предыдущих задач;
- недопущение снижения надежности системы за счет ее усложнения;
- компенсация случайных внешних управляющих и возмущающих воздействий на звенья системы обратными связями структуры и алгоритмов авторулевого.

В реалиях современного судоходства функционирование систем автоматического управления морскими подвижными объектами (САУ МПО) должно обеспечивать: надежность и точность работы системы в соответствии с требованиями безопасности в данном районе плавания; автоматическую корректировку математической модели, на базе которой строится управление в соответствии с условиями эксплуатации МПО; оптимизацию по заданному критерию настройки параметров управления и математической модели в режиме реального времени. В то же время такие требования к САУ до сих пор остаются недостаточно реализованными.

Работа в режиме проводки по заданной траектории

Поскольку в режиме проводки судно, как правило, следует с постоянной скоростью с синхронной работой азиподов, а использование носового подруливающего устройство не целесообразно на полных и средних ходах, то закон управления предлагается рассматривать в виде расширенного пропорциональноинтегрально-дифференцирующего (ПИД) регулятора по курсу [8-11]:

$$\begin{cases} \delta_{p} = a_{pr} \left(K_{p} + \Delta K_{\chi} - K \right) + a_{in} \int \left(K_{p} + \Delta K_{\chi} - K \right) dt + a_{d} \omega; \\ \Delta K_{\chi} = b_{pr} \chi + b_{in} \int \chi dt, \end{cases}$$
(1)

где K, K_{n} — исполняемый и заданный курсы;

 $\Delta K_{_{\mathrm{V}}}$ — поправка к заданному курсу за отклонение от траектории;

 $a_{\it pr}$, $a_{\it in}$, $a_{\it d}$, $b_{\it pr}$, $b_{\it in}$ — коэффициенты;

 ω , χ — угловая скорость и отклонение от траектории;

 δ_n — заданный угол атаки азиподов.

Судно придерживается текущего плеча траектории, минимизируя отклонение от заданного путевого угла и расстояние до линии пути. Расстояния до текущего и следующего плеч траектории рассчитываются из треугольников $WP_{i-1}WP_iO$ и $W\!P_{_{i+1}}\!W\!P_{_i}\!O$ (рис. 2) по формуле Герона как их высоты. Переключение управления на следующее плечо траектории происходит при выполнении одного из условий:

$$\begin{vmatrix} \chi_{i+1} \ge \chi_i; \\ \chi_{i+1} \le r \tan\left(\frac{\Delta K}{2}\right) + l, \end{vmatrix}$$

где r, l — радиус циркуляции судна при автоматическом изменении курса на заданный угол и длина судна, т. е. при выходе судна из заштрихованной области.

Работа судна в режиме динамического позиционирования

На рис. З показана схема автоматического перехода судна из позиции с координатами ϕ_c , λ_c и курсом K в заданную позицию с координатами ϕ_0 , λ_0 и курсом K_0 при помощи носового подруливающего устройства ВТ, левого AP и правого AS азиподов.

Один из азиподов совместно с подруливающим устройством обеспечивает одновременное поперечное перемещение и вращение вокруг вертикальной оси судна. Второй азипод

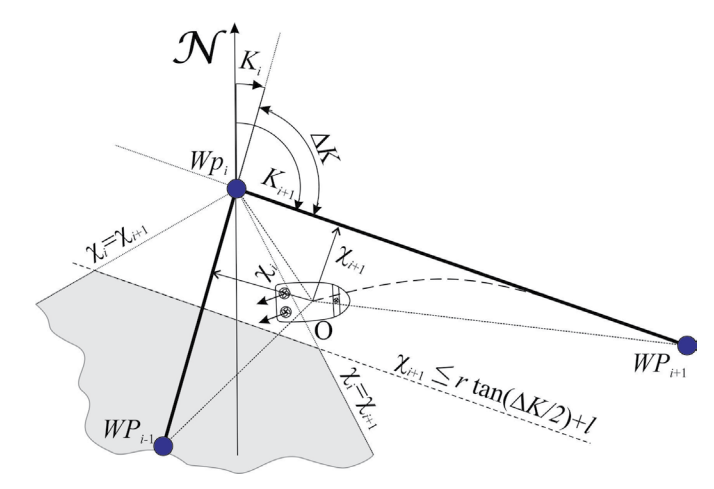


Рис. 2. Движение судна по заданной траектории

обеспечивает продольное движение вдоль его главной оси. Такое распределение функциональных ролей средств управления всегда обеспечит достижение цели управления в режиме динамического позиционирования при допустимых погодных

Учитывая, что направления осей вращения винтов азиподов и подруливающего устройства фиксированы (один азипод в диаметральной плоскости, второй и подруливающее устройство перпендикулярно диаметральной плоскости), управление будет заключаться в изменении частоты оборотов винтов всех средств управления [12]:

$$\eta_{AP} = p_{APK} \left(\Delta K + d_K \omega + i_K \int \Delta K dt \right) + p_{APX} \left(x + d_X \frac{dx}{dt} + i_X \int x dt \right);$$

$$\eta_{AS} = p_{ASy} \left(y + d_y \frac{dy}{dt} + i_y \int y dt \right);$$

$$\eta_{BT} = p_{BTK} \left(\Delta K + d_K \omega + i_K \int \Delta K dt \right) + p_{BTX} \left(x + d_X \frac{dx}{dt} + i_X \int x dt \right);$$

$$x = \Delta \sigma \sin(K - \gamma); \quad y = \Delta \sigma \cos(K - \gamma); \quad \Delta K = K_o - K,$$
(2)

где $\eta_{AP},\eta_{AS},\eta_{BT}$ — управляющие воздействия на левый, правый азиподы и подруливающее устройство по частоте оборотов винтов:

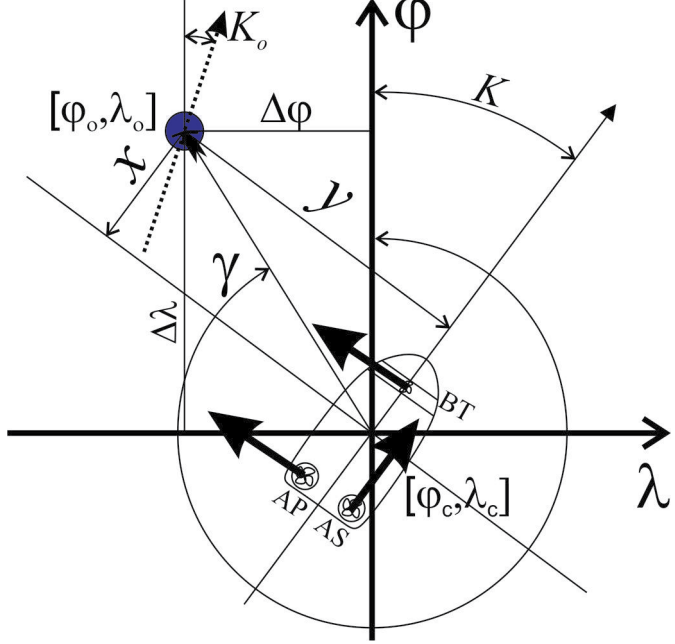


Рис. 3. Удержание судна в ориентированной позиции

 ω — угловая скорость судна;

х, у — продольное и поперечное отклонения текущих координат судна от заданных в системе координат, связанной с главными осями судна;

у — путевой угол из текущей позиции в заданную;

 $\Delta \sigma$ — расстояние между текущей и заданной позициями по дуге большого круга.

Расстояние между текущей и заданной позициями рассчитывается по формуле, обеспечивающей максимальную точность при компьютерных операциях с плавающей точкой [12]:

$$\Delta\sigma = 2\arcsin\sqrt{\left(\sin^2\left(\frac{\varphi_o - \varphi_c}{2}\right) + \cos\varphi_o\cos\varphi_c\sin^2\left(\frac{\lambda_o - \lambda_c}{2}\right)\right)}$$
(3)

где $\phi_{o}, \phi_{c}, \lambda_{o}, \lambda_{c}$ — широты и долготы заданного и текущего местоположений судна.

Путевой угол из текущей позиции в заданную рассчитывается по формулам:

$$\gamma = \arctan\left(\Delta\lambda \left(\ln\left(\tan\left(\frac{\pi}{4} + \frac{\phi_c}{2}\right)\left(\frac{1 - e\sin\phi_c}{1 + e\sin\phi_c}\right)^{\frac{e}{2}}\right) - \left(\ln\left(\tan\left(\frac{\pi}{4} + \frac{\phi_o}{2}\right)\left(\frac{1 - e\sin\phi_o}{1 + e\sin\phi_o}\right)^{\frac{e}{2}}\right)\right)^{-1}\right);$$

$$\Delta\lambda = \begin{cases} \lambda_c - \lambda_o & \left|\lambda_c - \lambda_o\right| \le \pi; \\ 2\pi + \lambda_c - \lambda_o & \lambda_c - \lambda_o < -\pi; \\ \lambda_c - \lambda_o < 2\pi & \lambda_c - \lambda_o > \pi; \end{cases}$$

$$(4)$$

где a, b — длины большой и малой полуосей земного эллипсоида.

Работа в режиме швартовки

Конечным пунктом заданной программной траектории является поворотный круг (рис. 4), в котором судно может безопасно развернуться параллельно причалу, после чего продолжить движение к причалу лагом. Таким образом, ра-

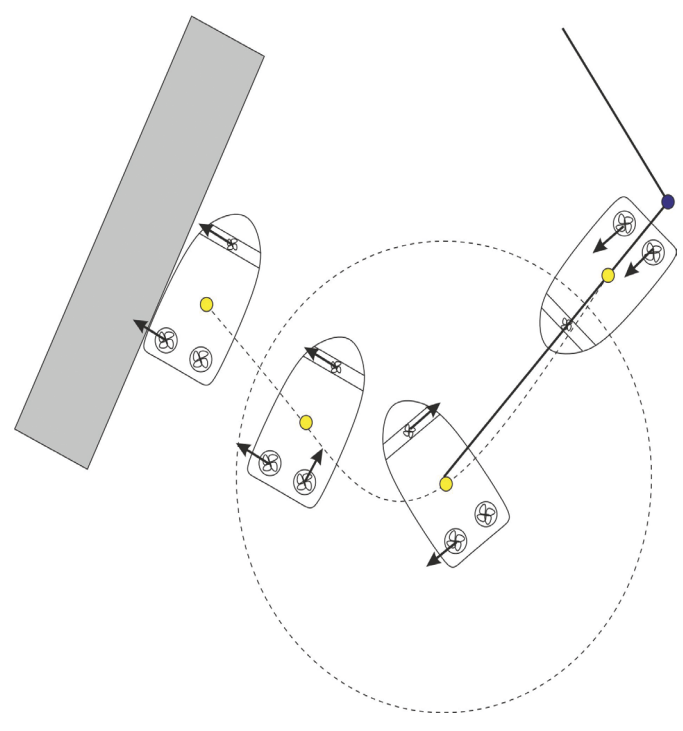


Рис. 4. Подход судна к причалу в режиме швартовки

бота судна в режиме автоматической швартовки является комбинацией режимов проводки и динамического позиционирования.

Подход судна к причалу разбивается на три этапа: следование до поворотного круга по принципам (1); раскантовка судна параллельно причалу по принципам (2); параллельное смещение к причалу до его касания по принципам (2).

Заключение

Предложенная система автоматического управления судном, оснащенным средствами управления для решения задач удержания судна на заданном курсе, заданной траектории, в точке, заданной координатами и швартовки к причалу обеспечивает решение поставленных перед судном навигационных задач.

Используемые в качестве регуляторов ПИД алгоритмы обеспечивают надежность и устойчивость управления. Система может быть установлена на маломерные специализированные автономные суда для повышения эффективности портовой инфраструктуры.

Дальнейшие исследования предполагают возможность создания тренажерного центра с управляемыми моделями судов в ГМУ имени адмирала Ф. Ф. Ушакова для отработки навыков и приобретения соответствующих компетенций внешних капитанов безэкипажных морских судов.

- 1. Safety and shipping review. Allianz Global Corporate & Specialty SE, 2018. 48 p.
- 2. Пинский А.С. Е-Навигация и безэкипажное судовождение // Транспорт РФ. 2016. Т. 4 (65). С. 93-100.
- 3. Baldauf M., Benedict K. e-Navigation and situation-dependent maneuvering assistance to enhance maritime emergency response // WMU Journal of Maritime Affairs. 2011. Pp. 209-226.
- 4. Carlson D. F., Fürsterling A. An affordable and portable autonomous surface vehicle with obstacle avoidance for coastal ocean monitoring // Hardware X. 2019. Vol. 6. Pp. 59-78.
- 5. Bayat B., Crasta N. Environmental monitoring using autonomous vehicles: a survey of recent searching techniques // Current Opinion in Biotechnology. 2017. Vol. 45. Pp. 76-84.
- 6. Barbieri L., Cucinotta F. Design and Simulation of the Hull of a Small-Sized Autonomous Surface Vehicle for Seabed Mapping. Switzerland, AG: Springer Nature, 2020. Pp. 422-431.
- 7. Burylin Y. A method for constructing a small-sized unmanned vessel and its automatic wiring // Journal of Physics: Conference Series. 2021. Vol. 2061. № 012117.
- 8. Narkiewicz J., Świętoń G. Autopilot with adaptive vessel modelling // Annual of navigation. 2009. Vol. 15. Pp. 93-100.
- 9. Патент № RU 2759068 C1. Метод автоматической проводки судна / Бурылин Я.В., Кондратьев А.И., Попов А.Н. Опубл. 09.11.2021. Бюл. № 31.
- 10. Бурылин Я.В. Идентификация нелинейной модели движения судна и адаптивное управление по траектории: автореф. дис. ... канд. техн. наук. Новороссийск: НГМА, 2018. С. 24.
- 11. Kondratyev A. I., Burylin I. V. The method for automatic control of a ship with directional instability // Journal of Physics: Conference Series. 2021. Vol. 2061. № 012084.
- 12. Burylin Y. Interface for indication and remote control of an unmanned vessel in automatic and manual modes // Journal of Physics: Conference Series. 2021. Vol. 2061. № 012074.